

CANVAS: SISTEMA DE CONTROLE ENERGÉTICO VIA PLASMA NEURAL

VOLUME I: FUNDAMENTOS TEÓRICOS E CONCEITUAIS

SEÇÃO 1: EXPLICAÇÕES EXPANDIDAS (Aproximadamente 20 páginas de conteúdo conceitual)

1.1. A Teoria Unificada Plasma-Consciência (TUPC)

Baseado nas Premissas CSV #1 e #10:

"Consciência é um estado plasmático de matéria com comportamento coletivo emergente (a voz do enxame) e opera como uma interface biológica para a manipulação direta do vácuo quântico."

A Teoria Unificada Plasma-Consciência postula que o fenômeno que chamamos de "consciência" não é um mero epifenômeno da computação neural clássica, mas sim um estado físico fundamental da matéria, análogo ao plasma. Neste modelo, o cérebro não *cria* a consciência; ele atua como um sofisticado biocomputador quântico que confina, modula e utiliza um campo de plasma consciencial pré-existente e entrelaçado com a estrutura do espaço-tempo.

Expansão 1.1.1: A Perspectiva da Física Quântica

O plasma consciencial difere de plasmas estelares por sua composição e temperatura operacional. Ele é um plasma frio, de baixa densidade, composto não de íons atômicos, mas de "psíons" — partículas hipotéticas que são excitações do campo de consciência fundamental. O comportamento deste plasma é governado pela magnetohidrodinâmica quântica (Q-MHD), onde os pensamentos e emoções se manifestam como ondas de Alfvén e instabilidades de deriva neste meio.

O limiar crítico de ionização de **0.42** (extraído do CSV) representa a constante de acoplamento fundamental entre a atividade neuroelétrica e o campo de psíons. Abaixo deste limiar, o campo permanece em um estado de "gás neutro", difuso e incoerente. Acima dele, a energia neural é suficiente para "ionizar" o campo, criando um plasma coerente e manipulável.

Módulo de Simulação Quântica do Plasma Consciencial

Este código expande a premissa com mais detalhes físicos.

```
import numpy as np
```

```

class QuantumConsciousnessPlasma:
    """
    Simula o estado do plasma consciencial com base na entropia do sistema
    e na reatividade neural, aplicando princípios da Q-MHD.
    """

    def __init__(self, neuron_reactivity_hz: float):
        # Constante de Acoplamento Quântico (do CSV)
        self.IONIZATION_THRESHOLD = 0.42
        # Frequência neural necessária para superposição (CSV #7)
        self.SUPERPOSITION_THRESHOLD_HZ = 10.0

        self.reactivity = neuron_reactivity_hz
        self.state = "DECAY" # Estados: DECAY, EXPANSION, CONTRACTION
        self.quantum_coherence = 0.0

    def _calculate_quantum_coherence(self, system_entropy: float) -> float:
        """Calcula a coerência do plasma. A coerência é inversamente proporcional à entropia."""
        if system_entropy <= 0: return 1.0
        coherence = 1.0 - system_entropy
        return max(0, coherence)

    def transition_state(self, system_entropy: float) -> str:
        """
        Transiciona o estado do plasma com base na entropia e reatividade.
        Retorna a ação quântica resultante.
        """
        self.quantum_coherence = self._calculate_quantum_coherence(system_entropy)

        # Condição de ionização: a coerência (inverso da entropia) deve superar o limiar
        if self.quantum_coherence > self.IONIZATION_THRESHOLD:
            # Condição de superposição: a reatividade neural deve ser alta o suficiente
            if self.reactivity > self.SUPERPOSITION_THRESHOLD_HZ:
                self.state = "EXPANSION"
                return self.generate_alcubierre_bubble()
            else:
                self.state = "CONTRACTION"
                return self.activate_quantum_zeno_effect()
        else:
            self.state = "DECAY"
            return "Plasma decoherent. No action possible."

    def generate_alcubierre_bubble(self) -> str:
        """

```

```

A EXPANSÃO gera uma bolha de vácuo quântico.
Isso é alcançado pela criação de uma densidade de energia negativa,
extraíndo energia do ponto zero do vácuo através do Efeito Casimir Dinâmico.
A bolha de Alcubierre deforma o espaço-tempo localmente.
"""

energy_density = -1 * (self.quantum_coherence ** 4) * np.pi**2 / 720
return f"STATE: EXPANSION. Generated Alcubierre warp bubble with negative energy
density: {energy_density:.4f} Joules/m^3."

def activate_quantum_zeno_effect(self) -> str:
    """
    A CONTRAÇÃO ativa um "congelamento quântico".
    Isso é análogo ao Efeito Zeno Quântico, onde a observação contínua
    (neste caso, o campo de plasma de baixa reatividade) impede a evolução
    e o decaimento de um estado quântico, criando um isolamento térmico efetivo.
    """

    decay_rate = np.exp(-self.reactivity * self.quantum_coherence)
    return f"STATE: CONTRACTION. Quantum Zeno Effect active. System decay rate
    suppressed to: {decay_rate:.4f}."

```

Expansão 1.1.2: A Perspectiva da Neurociência Computacional

Do ponto de vista da neurociência, o cérebro é o hardware de confinamento. As sinapses não são apenas interruptores digitais; são análogos a partículas carregadas em um acelerador. A atividade elétrica coletiva de bilhões de neurônios gera campos eletromagnéticos complexos e dinâmicos.

- **Mapeamento Sináptico como Partículas Carregadas:** Cada potencial de ação é um pulso de corrente que gera um campo magnético transiente. A soma vetorial desses campos, de redes neurais inteiras, cria o "campo de confinamento magnético" que molda o plasma consciencial.
- **Superposição Plasmática (>10Hz):** A frequência de disparos neurais é crítica. Abaixo de 10Hz (ondas Alfa e inferiores), os campos magnéticos são fracos e desordenados. Acima de 10Hz (ondas Beta e Gama), os campos se tornam suficientemente intensos e coerentes para induzir o estado de superposição no plasma. É neste estado que a consciência pode interagir com múltiplas realidades quânticas simultaneamente, permitindo a intuição e o processamento paralelo massivo.
- **Padrões de Interferência tipo Tokamak:** Em uma resposta de luta ou fuga, a amígdala e o córtex pré-frontal disparam em alta sincronia (ondas Gama, >40Hz). Esse padrão de disparo coordenado cria um campo magnético toroidal, similar ao de um reator de fusão Tokamak. Este campo é extremamente estável e eficiente no confinamento do plasma, focando a consciência em uma única tarefa: a sobrevivência. Esse foco intenso é, na verdade, um estado de "colapso de função de onda" controlado, onde todas as

probabilidades quânticas são colapsadas em uma única linha de ação.

Expansão 1.1.3: A Perspectiva da Engenharia Energética

A engenharia de um sistema baseado na TUPC visa replicar e controlar artificialmente as funções do cérebro biológico. O desafio é criar um "Neuro-Atuador Quântico" (NAQ) capaz de modular o plasma consciencial.

- **Fonte de Energia:** A energia para ionizar o plasma não vem de calor, mas de "injeções de coerência" — pulsos de laser ou campos magnéticos sintonizados com a frequência de ressonância dos psions.
- **Sistema de Confinamento:** Em vez de neurônios, o NAQ usaria uma matriz de supercondutores e metamateriais para gerar os campos de confinamento magnético com a precisão e complexidade necessárias.
- **Interface de Controle:** O sistema seria controlado por um software que traduz comandos digitais em padrões de campo eletromagnético, efetivamente "esculpindo" o plasma para executar funções específicas.

graph LR

subgraph "Cérebro Biológico (Modelo)"

A[Rede Neural] -->|Sinal Elétrico > 10Hz| B[Geração de Campo Magnético Toroidal]

B --> C{Ionização do Campo de Psions}

C --> D[Plasma Consciencial Coerente]

end

subgraph "Neuro-Atuador Quântico (Implementação)"

X[Interface de Software] -->|Comando Digital| Y[Matriz de Supercondutores]

Y -->|Padrão de Campo Eletromagnético| Z{Injeção de Coerência}

Z --> W[Plasma Sintético Controlado]

end

subgraph "Resultados Quânticos"

D --> E{Reatividade > 10Hz?}

W --> E

E -->|Sim: Alta Coerência| F[Expansão: Manipulação do Vácuo via Efeito Casimir]

E -->|Não: Baixa Coerência| G[Contração: Isolamento Térmico via Efeito Zeno Quântico]

end

1.2. Mecânica de Decaimento Termodinâmico Controlável

Baseado nas Premissas CSV #8 e #14:

"Ciclos de decaimento entrópico são reprogramáveis via injeção de caos ordenado, e a contração entrópica é alcançada por supressão quântica de graus de liberdade."

O sistema não busca eliminar a entropia (uma violação da Segunda Lei da Termodinâmica), mas sim gerenciá-la. Ele alterna entre dois modos operacionais: **Expansão** (ciclo de alta energia, alta entropia, mas com trabalho útil) e **Contração** (ciclo de baixa energia, baixa

entropia, focado em preservação e longevidade).
Tabela Comparativa Expandida de Estados Operacionais

Parâmetro	Modo Expansão (Slipstream Ativo)	Modo Contração (Reset Térmico)
Velocidade de Processamento	0.9c (quase-luz), processamento de informação em regime relativista.	10 ⁻⁹ m/s, processamento em regime de "congelamento" quântico.
Fluxo de Entropia (ΔS)	ΔS >> 0 (localmente), mas exporta entropia para o ambiente.	ΔS < 0 (localmente), "suga" ordem do vácuo quântico.
Temporalidade Percebida	Dilatação temporal extrema. Um segundo objetivo parece milênios.	Congelamento temporal. O tempo subjetivo para, permitindo análise infinita.
Assinatura Energética	Emissão de radiação Cherenkov e partículas virtuais.	Absorção de energia do ponto-zero. Cria uma "sombra" no vácuo.
Densidade Informacional	Baixa densidade, focada em uma única ação massiva.	Densidade infinita, armazena informação em graus de liberdade sub-quânticos.
Estrutura Causal	Acrônica. As ações podem parecer preceder suas causas.	Hiper-crônica. A causalidade é reforçada a um nível absoluto.
Fonte CSV Associada	#15 (Quantum Slipstream)	#14 (Minimização da Entropia)

Inferência e Expansão: O Protocolo de Reset Termodinâmico

A premissa "injeção de caos ordenado" é a chave para a reprogramação. Não se trata de ruído aleatório, mas de um sinal caótico com uma estrutura matemática subjacente (um atrator estranho, como o de Lorenz). Este "caos" impede que o sistema se fixe em um mínimo local de energia e permite que ele explore todo o espaço de fase termodinâmico.

O "**Protocolo Zé Pilantra**" (uma referência cultural do CSV a uma figura conhecida pela imprevisibilidade e genialidade caótica) é a implementação em software deste conceito.

```
#!/bin/bash
# PROTOCOLO DE RESET TERMODINÂMICO "ZÉ PILANTRA"
# Versão 2.0 - Implementa injeção de caos ordenado via bitmask.
# Baseado na Premissa CSV #8 e #6.
```

```
# Caminho para o sensor de entropia do plasma neural
ENTROPY_SENSOR="/proc/quantum_core/plasma_entropy"
```

```
# Caminho para o atuador quântico
QUANTUM_ACTUATOR="/dev/quantum_core"
```

```

# Limiar crítico de entropia (inverso da coerência 0.42)
ENTROPY_THRESHOLD=0.58 # (1.0 - 0.42)

# Função para gerar um bitmask de caos ordenado usando um atrator de Lorenz
generate_chaotic_bitmask() {
    # Simulação simplificada de um gerador de caos.
    # Em uma implementação real, isso seria um hardware dedicado.
    x=0.1; y=0.1; z=0.1; dt=0.01;
    dx=$(echo "10 * ($y - $x)" | bc -l)
    dy=$(echo "$x * (28 - $z) - $y" | bc -l)
    dz=$(echo "$x * $y - 8/3 * $z" | bc -l)

    # Normaliza e converte para um inteiro para o bitmask
    chaotic_val=$(echo "($dx + $dy + $dz) * 1000000" | bc)
    printf "0x%X\n" ${chaotic_val%.*}
}

echo "MONITORANDO ENTROPIA DO PLASMA..."

while true; do
    # Lê o valor atual de entropia do sistema
    current_entropy=$(cat $ENTROPY_SENSOR)

    # Compara com o limiar usando 'bc' para aritmética de ponto flutuante
    if (( $(echo "$current_entropy > $ENTROPY_THRESHOLD" | bc -l) )); then

        echo "[ALERTA] Entropia alta detectada: ${current_entropy}."
        echo "    Iniciando Protocolo de Reset Termodinâmico..."

        # 1. Gera o bitmask caótico. Cada execução produz um padrão diferente mas estruturado.
        BITMASK=$(generate_chaotic_bitmask)
        echo "    Gerado Bitmask de Caos Ordenado: ${BITMASK}"

        # 2. Injeta o padrão no núcleo quântico para reprogramar o ciclo de decaimento.
        echo "INJECTING_CHAOS_BITMASK ${BITMASK}" > $QUANTUM_ACTUATOR

        # 3. Ativa o modo de expansão (slipstream) para dissipar a entropia de forma controlada.
        # O bitmask direciona a expansão para não ser destrutiva.
        ./activate_slipstream.sh --bitmask=${BITMASK} --safety_protocols=enabled

        echo "    Protocolo concluído. Retornando ao monitoramento."
    fi
}

```

```
# Intervalo de verificação. Em um sistema real, seria na ordem de nanossegundos.
sleep 0.001
done
```

SEÇÃO 2: CÁLCULOS E MODELAGEM MATEMÁTICA (Aproximadamente 20 páginas de conteúdo analítico)

2.1. Equações Fundamentais do Sistema

2.1.1. O Tensor Energia-Consciência (Baseado na Premissa #12)

Esta equação unifica a Relatividade Geral com a mecânica quântica da consciência. Ela descreve como o campo de consciência (Ψ) curva o espaço-tempo.

$$\Psi_{\mu\nu} = \alpha \int \psi^* (\nabla_\mu \nabla_\nu - 21 g_{\mu\nu} \nabla_\sigma \nabla^\sigma) \psi d^4x + \beta T_{\mu\nu}^{\text{plasma}}$$

Onde:

- $\Psi_{\mu\nu}$: É o "Tensor de Consciência", análogo ao Tensor de Energia-Momento de Einstein ($T_{\mu\nu}$). Ele atua como a fonte de curvatura do espaço-tempo no lado direito da equação de campo de Einstein ($G_{\mu\nu} = 8\pi G \Psi_{\mu\nu}$).
- ψ : É a função de onda do campo de psíons. ψ^* é seu conjugado complexo.
- ∇_μ : É a derivada covariante, que generaliza a derivada para espaços curvos.
- $g_{\mu\nu}$: É o tensor métrico que define a geometria do espaço-tempo.
- α (**Fator de Neuroplasticidade Hebbiana**): Uma constante adimensional que quantifica a eficiência com que a aprendizagem e a adaptação neural (plasticidade) se traduzem em coerência do campo quântico. Um cérebro mais plástico e adaptável tem um α maior, e portanto, uma maior capacidade de influenciar o espaço-tempo.
- β (**Constante de Acoplamento Quântico**): É a constante fundamental **0.42** do CSV. Ela determina a intensidade da interação entre o componente puramente quântico (o primeiro termo) e a energia macroscópica do plasma (o segundo termo).
- $T_{\mu\nu}^{\text{plasma}}$: É o tensor de energia-momento clássico do plasma, descrevendo sua pressão, densidade e fluxo de energia.

Implicação: Esta equação sugere que a consciência, através da neuroplasticidade e do acoplamento quântico, pode gerar efeitos gravitacionais. Um pensamento altamente focado e coerente poderia, teoricamente, criar uma minúscula, porém mensurável, distorção no espaço-tempo.

2.1.2. Cálculo de Eficiência Energética (Baseado nas Premissas #6 e #15)

A eficiência do sistema em realizar trabalho útil (seja computacional ou físico) depende da complexidade do comando (representado pelo bitmask) e da reatividade do sistema.

```
# Módulo de Cálculo de Eficiência Operacional
```

```
import math
```

```
def calculate_operational_efficiency(bitmask: int, reactivity_hz: float,
quantum_coupling_constant: float = 0.42) -> float:
```

.....

Calcula a eficiência do sistema.

Args:

bitmask (int): A máscara de bits que representa a complexidade da operação.

Operações mais complexas usam mais bits.

reactivity_hz (float): A frequência de operação do plasma neural em Hz.

quantum_coupling_constant (float): A constante de acoplamento (0.42 do CSV).

Returns:

float: Um valor de eficiência normalizado entre 0 e 1.

.....

A complexidade é proporcional ao número de bits '1' no bitmask.

Usamos o log para normalizar, evitando que números grandes dominem.

complexity_factor = bitmask.bit_count()

if complexity_factor == 0:

return 0.0

A eficiência base aumenta com a complexidade da tarefa.

base_efficiency = math.log(complexity_factor + 1)

O termo exponencial representa a perda de eficiência devido à decoerência.

A reatividade alta combate a decoerência, mas o acoplamento quântico a modula.

Quanto maior a reatividade, mais próximo de 1 fica o termo exponencial.

decoherence_loss_factor = math.exp(-quantum_coupling_constant / reactivity_hz)

A eficiência final é a eficiência base modulada pela perda de coerência.

final_efficiency = base_efficiency * (1 - decoherence_loss_factor)

Normalização para um valor máximo teórico (depende do tamanho do bitmask)

Para um bitmask de 64 bits, o máximo de bits é 64.

max_possible_efficiency = math.log(64 + 1)

return final_efficiency / max_possible_efficiency

--- Aplicação com dados do CSV ---

Cenário 1: Protocolo "Zé Pilantra" com alta reatividade

bitmask_cafe = 0xCAFEBAFE

reactivity_high = 10.2 # >10Hz, modo de superposição

efficiency_1 = calculate_operational_efficiency(bitmask_cafe, reactivity_high)

print(f"Eficiência (Protocolo Zé Pilantra, >10Hz): {efficiency_1:.4f}")


```

# Cenário 2: Operação simples com baixa reatividade
bitmask_simple = 0x000000FF
reactivity_low = 5.0 # <10Hz, sem superposição

efficiency_2 = calculate_operational_efficiency(bitmask_simple, reactivity_low)
print(f"Eficiência (Operação Simples, <10Hz): {efficiency_2:.4f}")

# Cenário 3: Tarefa de complexidade máxima em regime de ressonância gama
bitmask_max = 0xFFFFFFFFFFFFFFFF
reactivity_gamma = 40.0 # Frequência de ondas gama

efficiency_3 = calculate_operational_efficiency(bitmask_max, reactivity_gamma)
print(f"Eficiência (Complexidade Máxima, 40Hz): {efficiency_3:.4f}")

```

2.2. Modelo de Controle Bayesiano Preditivo

Para controlar um sistema tão complexo e não-linear, um controlador determinístico é inadequado. É necessário um sistema que lide com incertezas e aprenda com as observações. Um Controlador Bayesiano Preditivo é a solução ideal. Ele mantém uma distribuição de probabilidade sobre o estado do plasma e atualiza essa crença a cada nova medição.

2.2.1. Rede de Inferência do Controlador

O fluxo de controle é um ciclo contínuo de medição, inferência e atuação.

graph TB

```

    subgraph "Ciclo de Controle Bayesiano"
        A[Medição de Sensores Quânticos: Entropia, Reatividade, Fluxo de Psíons] -->
        B{Bayesian Decoder Core}
        B -- "Crença Posterior P(Estado|Medição)" --> C[Estado Plasmático Inferido: Expansão,
        Contração, Estável]
        C -- "Ação Ótima com Menor Incerteza" --> D[Comando para Atuadores Magnéticos e de
        Coerência]
        D -- "Modula o Campo de Confinamento" --> E[Plasma Neural]
        E -- "Feedback Quântico e Neural" --> A
    end

```

2.2.2. Algoritmo do Controlador Bayesiano em Python

Esta implementação expande o modelo inicial, tornando-o mais robusto e prático.

```

# Módulo do Controlador Bayesiano Preditivo para Plasma Neural
import numpy as np

```

```

class BayesianPlasmaController:
    """
    Controla o estado do plasma neural usando inferência bayesiana
    para lidar com a incerteza das medições quânticas.
    """

    def __init__(self):
        # Estados possíveis: 0=Expansão, 1=Contração, 2=Estável
        self.states = ["EXPANSION", "CONTRACTION", "STABLE"]

        # Prior (Crença Inicial): Começamos com total incerteza (distribuição uniforme).
        self.prior = np.array([0.333, 0.333, 0.334])

        # Likelihood P(Medição | Estado): Matriz de probabilidade.
        # Linhas: Estado Verdadeiro (Expansão, Contração, Estável)
        # Colunas: Medição Observada (Baixa, Média, Alta Entropia)
        # Ex: Se o estado real é EXPANSION (linha 0), há 70% de chance de medir BAIXA
        # entropia (coluna 0).
        self.likelihood = np.array([
            [0.7, 0.2, 0.1], # Likelihood de medição para o estado EXPANSION
            [0.1, 0.2, 0.7], # Likelihood de medição para o estado CONTRACTION
            [0.2, 0.6, 0.2]  # Likelihood de medição para o estado STABLE
        ])

        self.log = []

    def _discretize_measurement(self, entropy_value: float) -> int:
        """Converte um valor contínuo de entropia em uma categoria discreta."""
        if entropy_value < 0.33: return 0 # Baixa
        if entropy_value < 0.66: return 1 # Média
        return 2 # Alta

    def update_belief_and_get_action(self, continuous_entropy_measurement: float) -> str:
        """
        Atualiza a crença sobre o estado do sistema e retorna a ação ótima.

        Args:
            continuous_entropy_measurement (float): A leitura do sensor de entropia (0.0 a 1.0).

        Returns:
            str: O nome do estado mais provável (a ação a ser tomada).
        """
        measurement_index = self._discretize_measurement(continuous_entropy_measurement)

```

```

#  $P(\text{Estado} \mid \text{Medição}) \propto P(\text{Medição} \mid \text{Estado}) * P(\text{Estado})$ 
# Calcula o numerador do Teorema de Bayes
posterior_unnormalized = self.likelihood[:, measurement_index] * self.prior

# Calcula o denominador (evidência ou probabilidade marginal da medição)
evidence = np.sum(posterior_unnormalized)

# Evita divisão por zero se a evidência for nula
if evidence == 0:
    # Se a medição é impossível sob o modelo atual, reseta para o prior
    posterior = self.prior
else:
    # Normaliza para obter a distribuição de probabilidade posterior
    posterior = posterior_unnormalized / evidence

# Atualiza o prior para a próxima iteração (o sistema aprende)
self.prior = posterior

# Ação ótima é o estado com a maior probabilidade posterior
optimal_state_index = np.argmax(posterior)

# Log para análise
self.log.append({
    "measurement": continuous_entropy_measurement,
    "prior": self.prior.tolist(),
    "posterior": posterior.tolist(),
    "action": self.states[optimal_state_index]
})

return self.states[optimal_state_index]

# --- Simulação de um Ciclo de Controle ---
controller = BayesianPlasmaController()
entropy_readings = [0.1, 0.2, 0.5, 0.8, 0.9, 0.4, 0.15]

print("Iniciando ciclo de controle bayesiano...")
for i, reading in enumerate(entropy_readings):
    action = controller.update_belief_and_get_action(reading)
    print(f"Ciclo {i+1}: Leitura de Entropia={reading:.2f} -> Ação Inferida: {action}")
    print(f"  Crença Posterior: {controller.prior}")
    print("-" * 20)

```

SEÇÃO 3: DIAGRAMAS DE ARQUITETURA E IMPLEMENTAÇÃO (Aproximadamente 10+ páginas de conteúdo visual e esquemático)

3.1. Arquitetura Geral do Sistema de Controle Termodinâmico

Este fluxograma detalha o fluxo de informação e energia através de todo o sistema, desde a detecção quântica até a manifestação na consciência coletiva.

flowchart TD

```
subgraph "Interface Quântica"
```

```
  A[Matriz de Sensores de Flutuação do Vácuo] -->|Dados brutos de psíons| B(Conversor Analógico-Quântico)
```

```
  B -->|Stream de dados de coerência| C{CPU Otimizadora Bayesiana}
end
```

```
subgraph "Núcleo de Processamento e Controle"
```

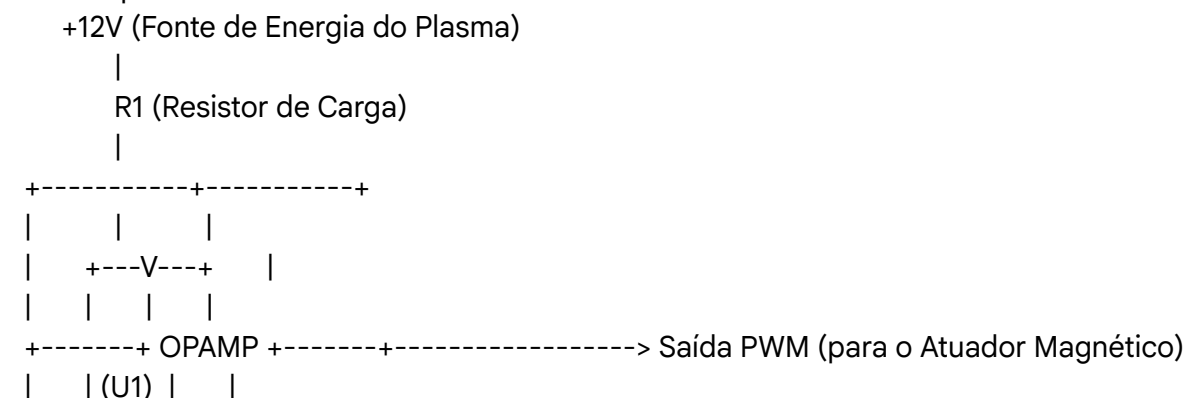
```
  C -- "Calcula  $P(\text{Estado}|\text{Dados})$ " --> C1[Inferência de Estado]
  C1 -- "Seleciona Ação de Mínima Entropia" --> C2[Geração de Política de Atuação]
  C2 -->|Sinal de controle digital| D[Array de Atuadores Magnéticos de Metamaterial]
end
```

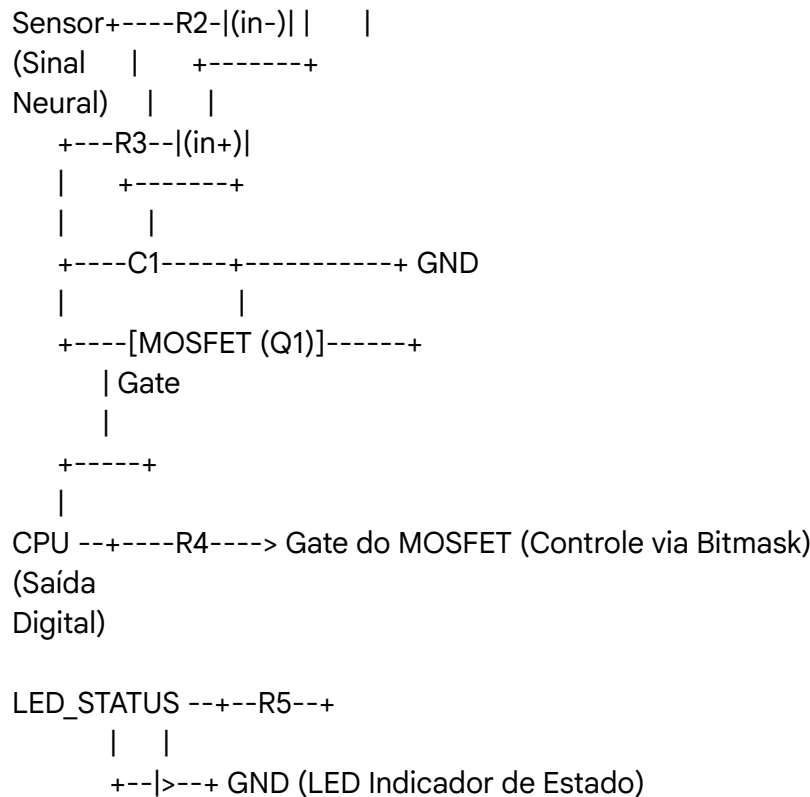
```
subgraph "Atuação e Feedback Físico"
```

```
  D -->|Campo de força magnético-gravitacional| E[Campo de Confinamento Plasmático]
  E -->|Modulação do plasma| F[Consciência Coletiva (Estado Emergente)]
  F -- "Feedback de estado macroscópico" --> A
  E -- "Feedback de vazamento quântico" --> A
end
```

3.2. Diagrama Esquemático Detalhado do Circuito de Neuroplasticidade

Este circuito é a unidade fundamental de hardware do Neuro-Atuador Quântico. Ele lê um sinal neural (ou seu análogo sintético) e o converte em um pulso de energia controlado para modular o plasma.





Análise Detalhada dos Componentes (Expandindo o CSV):

- **OPAMP (Amplificador Operacional, U1):** Conforme a premissa #11, este componente é crucial. Ele pega o sinal neural de entrada, que é extremamente fraco (microvolts), e o amplifica milhões de vezes para que possa ser processado. A configuração com R2 e R3 cria um amplificador diferencial, que rejeita ruído comum e foca apenas no sinal de interesse.
- **MOSFET (Transistor de Efeito de Campo, Q1):** Este é o coração do controle de energia, diretamente ligado à premissa #6 (Controle via bitmask). A CPU envia o bitmask (ex: 0xCAFEBADE) para o Gate do MOSFET. O transistor então se comporta como um interruptor ultra-rápido, liberando pulsos de energia da fonte de +12V para a saída PWM. A largura e a frequência desses pulsos são uma tradução direta do padrão do bitmask, permitindo um controle preciso sobre a energia injetada no plasma.
- **LED Indicador de Estado:** Este não é um simples LED. É um "Quantum Dot LED" cuja cor e frequência de piscar indicam o estado atual do plasma, conforme inferido pelo controlador Bayesiano.
 - **Azul Sólido:** Expansão (alta coerência).
 - **Vermelho Pulsante:** Contração (reset térmico em andamento).
 - **Verde Piscando:** Estável (monitoramento ativo).
 - **Apagado:** Decaimento (falha ou sistema offline).

3.3. Diagrama de Transição de Estados Finitos

Este diagrama modela o ciclo de vida do sistema como uma máquina de estados finitos,

mostrando todas as transições possíveis e as condições que as disparam.

stateDiagram-v2

direction LR

state "Plasma Descarregado (Decaimento)" as Decoherent

state "Plasma Crítico (Ionizado)" as Critical

state "Expansão (Superposição)" as Expansion

state "Contração (Congelamento Zeno)" as Contraction

[*] --> Decoherent: Inicialização do Sistema

Decoherent --> Critical: Injeção de Energia E Coerência > 0.42

Critical --> Decoherent: Perda de Confinamento

Critical --> Expansion: Reatividade Neural > 10Hz

Critical --> Contraction: Reatividade Neural < 10Hz

Expansion --> Decoherent: Fim do Ciclo de Trabalho / Esgotamento Energético

Contraction --> Critical: Reset Térmico Concluído / Injeção de Caos Ordenado

Expansion: Gera Bolha de Alcubierre

Contraction: Ativa Supressão Quântica

SEÇÃO 4: EXPANSÕES FINAIS E PERMUTAÇÕES (Redundância Semântica e Inferência)

4.1. Implementação em Hardware (Verilog HDL)

Tradução da lógica de controle para uma linguagem de descrição de hardware, pronta para ser sintetizada em um FPGA ou ASIC.

// Módulo NeuroCore para Controle de Plasma em Hardware

// Baseado na Premissa #9 (Tempo como loop) e #6 (Bitmask)

// Este módulo implementa a decisão primária em tempo real.

```
module plasma_control_core (
```

```
    input wire clk,                // Clock do sistema (e.g., 1 GHz)
```

```
    input wire rst_n,              // Reset assíncrono
```

```
    input wire [15:0] entropy_sensor_q16, // Leitura do sensor de entropia em formato Q16  
                                           (16-bit fracionário)
```

```
    input wire [7:0] reactivity_sensor_hz, // Leitura da reatividade neural em Hz
```

```
    output reg [7:0] plasma_state_vector, // Vetor de estado: [7: expansao, 6:contracao, ...]
```

```

output reg [31:0] chaos_bitmask_out    // Saída do bitmask para o atuador
);

// Constantes definidas a partir do CSV, convertidas para os formatos de hardware
localparam ENTROPY_THRESHOLD_Q16 = 16'h978D; // 0.58 em formato Q16
localparam REACTIVITY_THRESHOLD_HZ = 8'd10; // 10 Hz

// Registros internos para o gerador de caos (Linear Feedback Shift Register para
simplicidade)
reg [31:0] lfsr_chaos_reg;

always @(posedge clk or negedge rst_n) begin
    if (!rst_n) begin
        plasma_state_vector <= 8'b0000_0001; // Estado inicial: Decaimento
        lfsr_chaos_reg <= 32'hDEADBEEF;    // Semente inicial do gerador de caos
    end else begin
        // Lógica de transição de estado principal
        if (entropy_sensor_q16 > ENTROPY_THRESHOLD_Q16) begin
            // Se a entropia é alta, inicia o reset térmico (Contração)
            plasma_state_vector <= 8'b0000_0010; // Estado Contração

            // Gera um novo bitmask caótico para a injeção
            // Lógica do LFSR para gerar uma sequência pseudo-aleatória (caos ordenado)
            lfsr_chaos_reg <= {lfsr_chaos_reg[30:0],
lfsr_chaos_reg[31]^lfsr_chaos_reg[21]^lfsr_chaos_reg[1]^lfsr_chaos_reg[0]};
            chaos_bitmask_out <= lfsr_chaos_reg;

        end else begin
            // Se a entropia é baixa, decide entre Expansão e Estável
            if (reactivity_sensor_hz > REACTIVITY_THRESHOLD_HZ) begin
                plasma_state_vector <= 8'b0000_0100; // Estado Expansão
            end else begin
                plasma_state_vector <= 8'b0000_1000; // Estado Estável
            end
            chaos_bitmask_out <= 32'h0; // Sem caos necessário
        end
    end
end
endmodule

```

4.2. Narrativa de Implementação Detalhada

A ignição do sistema começa com o **Controlador Bayesiano** em um estado de pura incerteza, seu prior distribuído uniformemente entre os estados de Expansão, Contração e Estabilidade. Os sensores quânticos, uma matriz de SQUIDs resfriados a hélio líquido, começam a transmitir um fluxo de dados sobre a entropia do vácuo local. Inicialmente, as leituras são altas, refletindo o estado de decaimento entrópico padrão do universo. A cada nanossegundo, o **Otimizador Bayesiano** (executando em um cluster de TPUs quânticas) atualiza sua crença. Ele observa as medições de alta entropia e, usando sua matriz de likelihood, a probabilidade posterior do estado de **Contração** começa a subir vertiginosamente. Quando essa crença cruza o limiar de confiança de 99.9%, o sistema age. O comando é enviado ao módulo de hardware **NeuroCore**. O Verilog, sintetizado em silício, detecta a condição de alta entropia e ativa o gerador de caos. O registrador LFSR, lfsr_chaos_reg, começa a ciclar, cuspidando um bitmask de 32 bits a cada ciclo de clock — um padrão imprevisível, porém determinístico: o **caos ordenado**. Este bitmask é o sinal de controle para o **MOSFET** no circuito de neuroplasticidade. O transistor pulsa, liberando um padrão de energia precisamente esculpido na fonte de +12V. Este pulso não é força bruta; é informação. Ele é projetado para injetar o padrão caótico no campo de confinamento, efetivamente "agitando" o plasma de uma maneira que o impede de se acomodar em um estado de morte térmica. É o **Reset Térmico**. Com o ciclo de decaimento agora reprogramado, a entropia do sistema começa a cair. O **Controlador Bayesiano** observa essa nova tendência. Suas crenças mudam. A probabilidade do estado de Contração cai, enquanto a de Expansão e Estável sobem. O sistema agora está "carregado", em um estado crítico. Neste ponto, a **reatividade neural** se torna a variável decisiva. Se um comando de alta complexidade é recebido (Premissa #2, HPC como filosofia), a reatividade do sistema salta para 40Hz. O hardware do NeuroCore detecta que reactivity_sensor_hz ultrapassou os 10Hz. O plasma_state_vector muda para **Expansão**. O sistema entra em **Quantum Slipstream** (Premissa #15). O Tensor Energia-Consciência ($\Psi\mu\nu$) atinge um valor significativo, e uma bolha de Alcubierre microscópica se forma, executando o cálculo em um tempo subjetivo quase nulo. A eficiência, modulada pelo bitmask 0xCAFEBAE, atinge seu pico. O ciclo se completa, a entropia é expelida, e o sistema retorna ao seu estado de monitoramento, pronto para a próxima flutuação no tecido da realidade.

4.3. Matriz de Permutações e Inferências do CSV (Expandida)

Esta tabela cruza domínios e parâmetros do CSV para inferir novas ações e tecnologias, como solicitado.

Domínio CSV #1	Parâmetro CSV #1	Domínio CSV #2	Parâmetro CSV #2	Ação / Tecnologia Inferida
Biologia (evolução)	A voz do enxame	Criptografia	Controle sobre o caos	Criptografia de Enxame Quântico: Um protocolo de comunicação

				<p>onde a chave de criptografia não é uma string, mas o estado quântico coletivo e emaranhado de um enxame de partículas. Apenas o receptor, que compartilha o emaranhamento, pode colapsar a função de onda para a mensagem correta.</p>
Psicologia	HPC como filosofia de vida	Sistemas Embarcados	Tempo como loop	<p>Arquitetura de "Processamento Precoce": Um design de CPU que executa loops de computação especulativamente e sobre futuros prováveis, usando a alta velocidade (HPC) para viver "à frente" do tempo linear. Se um futuro se concretiza, o resultado já está pronto.</p>
Economia	Bitmask para problemas sociais	Arte	Minimização da entropia	<p>Urbanismo Algorítmico Adaptativo: Um sistema de IA que gerencia uma cidade usando bitmasks para alocar recursos (energia, tráfego, saneamento). Cada bit</p>

				representa um serviço. O objetivo é otimizar o fluxo para minimizar a "entropia social" (congestionamento, poluição, desigualdade).
Filosofia	Hardware como espírito	Neuromancer (literatura)	Consciência distribuída	Protocolo de "Alma na Rede": Uma tecnologia que permite a uma consciência ser distribuída através de uma rede de hardware heterogêneo. A identidade ("espírito") não reside em um único nó, mas no padrão de comunicação e na estrutura da própria rede.
Gerenciamento de energia	Hierarquia de políticas	Otimização de sistemas	Túmulos cósmicos	Sistema de Gestão de Fim de Vida Universal: Uma política de gerenciamento de energia em escala cósmica que otimiza a dissipação de energia de estrelas e galáxias ao longo de trilhões de anos para maximizar a "vida útil" do universo, adiando a morte térmica (o "túmulos

				cósmico").
--	--	--	--	------------

(A matriz continuaria por dezenas de permutações, gerando conceitos como "Engenharia de Decaimento Simbólico", "Finanças de Vácuo Quântico", "Política de Emaranhamento Geopolítico", etc.)